

## I-26 鋼管矢板井筒における継手効率のモデル化について

北海道大学 正員 能町純雄  
 苫小牧高専 正員 ○澤田知之  
 苫小牧高専 正員 中辻 雄

## 1. まえがき

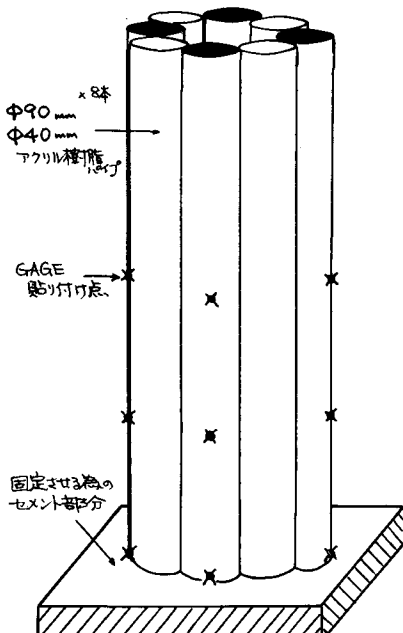
本論における構造は、鋼管矢板と継手で連結しながら円形、矩形、長円等の閉鎖形状に連て込み、継手部をモルタル等で処理を行ない、各矢板に一体性を持たせた構造であり、近年特に大型橋梁や、軟弱地盤における基礎として採用される度合が多くなっており、これまでに100基以上の施工例があり、道内でも新茂岩橋、新江別大橋、石狩河口橋等どの施工例が見られる。この基礎形式の持つ構造特性は、ケーソン基礎と杭基礎の中間的な力学特性を有する構造といえる。今日の設計指針においては、井筒を一体のものと考え合成効率を用いて換算断面2次モーメントを求めて計算を行なっている。合成効率は井筒の規格、矢板の本数、形状、地盤条件、施工状態等に応じて色々な値になると考えられるが、鋼管矢板の場合には0.3～0.5の値の状態が最も多い様である。本解析は、これらと概念を変えて互いに隣接する各構要素の継手に一種のバネ定数を考えて個々の杭を継手による力の伝達を含めてその評価を行なうとするものであり、今回は概ね前回發表した<sup>2)</sup>鋼管を水平に連て込んだ平面構造を、セル型とし井筒とした形状を取り上げ、構造全体としての半径方向の継手効率とそれと直角方向の2方向の継手効率を考慮した解析を行ない、2, 3の実験を行なったので、その結果を報告するものである。

解析にあたっては、軸方向にニジ結合されていると考えてみる、軸方向力は考えていない。これは施工時ににおいて地盤を掘り下げ、鋼管を連て込んだ状態で、継手処理が行なわれる直前の状態で最も危険な時期を仮定していることとなる。実験は、アクリル樹脂で製作した図-1の如くの供試体を円筒形木槽に入れ、周辺より水圧を加えたものと理論値との比較結果を述べる。解析は、各々の杭が受け持つ力の釣合式を、節点力と節点変位の関係及び図-2に示すところの変位の関係から誘導されるとところの三本の基本微分差分方程式を和分変換と、有限フーリエ変換によて処理し、収束の速い簡単な解を知り得る。

・本解析で用いられる諸係数

- |          |                   |                       |
|----------|-------------------|-----------------------|
| $K_T$    | 構造の接線方向の継手効率      | (kg/cm <sup>2</sup> ) |
| $K_N$    | 構造の半径方向の継手効率      | (kg/cm <sup>2</sup> ) |
| $K$      | 地盤反力係数            | (kg/cm <sup>3</sup> ) |
| $EI$     | 曲げ剛性              | (kg·cm <sup>2</sup> ) |
| $GJ$     | ねじり剛性             |                       |
| $N$      | 钢管本数              |                       |
| $D$      | 钢管径 (cm)          |                       |
| $l$      | 钢管長 (cm)          |                       |
| $P$      | 水平荷重 (kg)         |                       |
| $Q_{eq}$ | 各境界における外力 (kg/cm) |                       |

図-1 実験供試体図



## 2. 解析概要

図-2に示す如くに、節点力と変位の関係は、各々2方向の継手効率 $K_N, K_T$ が、それにより比例する伝達力の係数と考え、鋼管要素の中央座標ごとに半径方向曲げ、接線方向曲げ、及び捩りの力の釣り合い式をとると三本の基本微分差分方程式が導かれる。

これらを各構造の周方向に Fourier-Cosine 定和分変換、 Sine 定和分変換、又軸方向に有限 Fourier-Sine 変換を施して、境界条件を考慮し

有限 Fourier-Sine 逆変換すると次の様な一般解を知り得る。(1) (2) (3) に示す式は天端で自由端、根入れ端では固定の場合のものである。

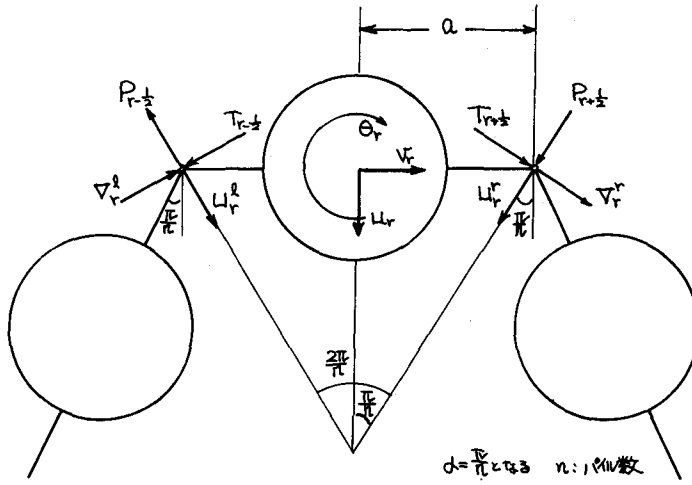
$$\begin{aligned} R_i[U_r(x)] &= \frac{2}{\pi} D_1 \sum_{m=1}^{\infty} \frac{1}{DD} \left\{ m^5 + C_3 \cdot m^3 + B_2 \cdot m + (B_2 \cdot C_3 - B_3 \cdot C_2) \frac{1}{m} \right\} \cdot \sin \frac{m\pi}{2} x \cdot R_i[\theta_r(0) - \theta_r(-1)^m] \\ &+ \frac{2}{\pi} E_1 \sum_{m=1}^{\infty} \frac{1}{DD} \left\{ m^3 + C_3 \cdot m^5 + B_2 \cdot m^3 + (B_2 \cdot C_3 - B_3 \cdot C_2) m \right\} \cdot \sin \frac{m\pi}{2} x \cdot (-1)^m \cdot R_i[U_r(0)] \\ &+ \frac{2}{\pi} F_1 \sum_{m=1}^{\infty} \frac{1}{DD} \left\{ m^9 + C_3 \cdot m^7 + B_2 \cdot m^5 + (B_2 \cdot C_3 - B_3 \cdot C_2) m^3 \right\} \cdot \sin \frac{m\pi}{2} x \cdot R_i[U_r(0)] \\ &+ \frac{2}{\pi} E_2 \sum_{m=1}^{\infty} \frac{1}{DD} \left\{ (B_3 \cdot C_1 - B_1 \cdot C_3) m - B_1 \cdot m^3 \right\} \cdot \sin \frac{m\pi}{2} x \cdot (-1)^m \cdot S_i[V_r(0)] \\ &+ \frac{2}{\pi} F_2 \sum_{m=1}^{\infty} \frac{1}{DD} \left\{ (B_3 \cdot C_1 - B_1 \cdot C_3) \cdot m^3 - B_1 \cdot m^5 \right\} \cdot \sin \frac{m\pi}{2} x \cdot S_i[V_r(0)] \\ &+ \frac{2}{\pi} F_3 \sum_{m=1}^{\infty} \frac{1}{DD} \left\{ (B_1 \cdot C_2 - B_2 \cdot C_1) \cdot m - C_1 \cdot m^5 \right\} \cdot \sin \frac{m\pi}{2} x \cdot S_i[\theta_r(0)] \end{aligned} \quad (1)$$

$$\begin{aligned} S_i[V_r(x)] &= \frac{2}{\pi} D_1 \sum_{m=1}^{\infty} \frac{1}{DD} \left\{ (A_3 \cdot C_2 - A_2 \cdot C_3) \frac{1}{m} - A_2 \cdot m \right\} \cdot \sin \frac{m\pi}{2} x \cdot R_i[\theta_r(0) - \theta_r(-1)^m] \\ &+ \frac{2}{\pi} E_1 \sum_{m=1}^{\infty} \frac{1}{DD} \left\{ (A_3 \cdot C_2 - A_2 \cdot C_3) m - A_2 \cdot m^3 \right\} \cdot \sin \frac{m\pi}{2} x \cdot (-1)^m \cdot R_i[U_r(0)] \\ &+ \frac{2}{\pi} F_1 \sum_{m=1}^{\infty} \frac{1}{DD} \left\{ (A_3 \cdot C_2 - A_2 \cdot C_3) m^3 - A_2 \cdot m^5 \right\} \cdot \sin \frac{m\pi}{2} x \cdot R_i[U_r(0)] \\ &+ \frac{2}{\pi} E_2 \sum_{m=1}^{\infty} \frac{1}{DD} \left\{ m^7 + C_3 \cdot m^5 + A_1 \cdot m^3 + (A_1 \cdot C_3 - A_3 \cdot C_1) \cdot m \right\} \cdot \sin \frac{m\pi}{2} x \cdot (-1)^m \cdot S_i[V_r(0)] \\ &+ \frac{2}{\pi} F_2 \sum_{m=1}^{\infty} \frac{1}{DD} \left\{ m^9 + C_3 \cdot m^7 + A_1 \cdot m^5 + (A_1 \cdot C_3 - A_3 \cdot C_1) \cdot m^3 \right\} \cdot \sin \frac{m\pi}{2} x \cdot S_i[V_r(0)] \\ &+ \frac{2}{\pi} F_3 \sum_{m=1}^{\infty} \frac{1}{DD} \left\{ (A_2 \cdot C_1 - A_1 \cdot C_2) \cdot m - C_2 \cdot m^5 \right\} \cdot \sin \frac{m\pi}{2} x \cdot S_i[\theta_r(0)] \end{aligned} \quad (2)$$

$$\begin{aligned} S_i[\theta_r(x)] &= \frac{2}{\pi} D_1 \sum_{m=1}^{\infty} \frac{1}{DD} \left\{ (A_2 \cdot B_3 - A_3 \cdot B_2) \frac{1}{m} - A_3 \cdot m^3 \right\} \cdot \sin \frac{m\pi}{2} x \cdot R_i[\theta_r(0) - \theta_r(-1)^m] \\ &+ \frac{2}{\pi} E_1 \sum_{m=1}^{\infty} \frac{1}{DD} \left\{ (A_2 \cdot B_3 - A_3 \cdot B_2) m - A_3 \cdot m^5 \right\} \cdot \sin \frac{m\pi}{2} x \cdot (-1)^m \cdot R_i[U_r(0)] \\ &+ \frac{2}{\pi} F_1 \sum_{m=1}^{\infty} \frac{1}{DD} \left\{ (A_2 \cdot B_3 - A_3 \cdot B_2) \cdot m^3 - A_3 \cdot m^7 \right\} \cdot \sin \frac{m\pi}{2} x \cdot R_i[U_r(0)] \\ &+ \frac{2}{\pi} E_2 \sum_{m=1}^{\infty} \frac{1}{DD} \left\{ (A_3 \cdot B_1 - A_1 \cdot B_3) \cdot m - B_3 \cdot m^5 \right\} \cdot \sin \frac{m\pi}{2} x \cdot (-1)^m \cdot S_i[V_r(0)] \\ &+ \frac{2}{\pi} F_2 \sum_{m=1}^{\infty} \frac{1}{DD} \left\{ (A_3 \cdot B_1 - A_1 \cdot B_3) \cdot m^3 - B_3 \cdot m^7 \right\} \cdot \sin \frac{m\pi}{2} x \cdot S_i[V_r(0)] \\ &+ \frac{2}{\pi} F_3 \sum_{m=1}^{\infty} \frac{1}{DD} \left\{ m^9 + (A_1 + B_2) \cdot m^5 + (A_1 \cdot B_2 - A_2 \cdot B_1) m \right\} \cdot \sin \frac{m\pi}{2} x \cdot S_i[\theta_r(0)] \end{aligned} \quad (3)$$

上述の一般解の境界値は、天端での剪断力の釣り合い及び根入れ端での剛性が無いという各々の方向の方程式を連立で解くことによって容易に求められる。整理して示すと次の如くである。

図-2 節点力と変位の関係図



$$\begin{array}{c}
 \left| \begin{array}{ccccc} F_{U_2}(l) & F_{U_3}(l) & F_{U_4}(l) & F_{U_5}(l) & F_{U_6}(l) \\ F_{V_2}(l) & F_{V_3}(l) & F_{V_4}(l) & F_{V_5}(l) & F_{V_6}(l) \\ EI \cdot F_{U_2}(0) & EI \cdot F_{U_3}(0) & EI \cdot F_{U_4}(0) & EI \cdot F_{U_5}(0) & EI \cdot F_{U_6}(0) \\ EI \cdot F_{V_2}(0) & EI \cdot F_{V_3}(0) & EI \cdot F_{V_4}(0) & EI \cdot F_{V_5}(0) & EI \cdot F_{V_6}(0) \\ GJ \cdot F_{\theta_2}(0) & GJ \cdot F_{\theta_3}(0) & GJ \cdot F_{\theta_4}(0) & GJ \cdot F_{\theta_5}(0) & GJ \cdot F_{\theta_6}(0) \end{array} \right| = \left| \begin{array}{c} R[U_r(0)] \\ R[U_r(l)] \\ S[V_r(0)] \\ S[V_r(l)] \\ S[\theta_r(0)] \\ S[\theta_r(l)] \end{array} \right| = \left| \begin{array}{c} -F_{U_1}(l) \cdot R[8_0 - 8_2(-1)^m] \\ -F_{V_1}(l) \cdot R[8_0 - 8_2(-1)^m] \\ P - F_{U_1}(0) \cdot R[8_0 - 8_2(-1)^m] \\ -F_{V_1}(0) \cdot R[8_0 - 8_2(-1)^m] \\ -F_{\theta_1}(0) \cdot R[8_0 - 8_2(-1)^m] \end{array} \right|
 \end{array}$$

(4)

ここで、 $F_{U_2} \sim F_{V_6}$  などは前記 (1) ~ (3) 式において各々の境界値の前に記された  $m$  で集められた項で、級数和の項を収束関数  $F_{U_1}(x)$  などと表わし、それを  $x$  で各々 1 回又は 3 回偏微分したものと表わす。

$$\text{又, } DD = m^6 + P_1 \cdot m^8 + P_2 \cdot m^6 + P_3 \cdot m^4 + P_4 \cdot m^2 + P_5$$

$$P_1 = C_3$$

$$P_2 = A_1 + B_2$$

$$A_1 = \frac{l^4}{EI\pi^4} \{ KD + KN \cdot D_l \cos^2 l + K_T (4 - D_l) \sin^2 l \}$$

$$P_3 = (A_1 \cdot C_3 - A_3 \cdot C_1) + (B_2 \cdot C_3 - B_3 \cdot C_2)$$

$$B_1 = -\frac{l^4}{EI\pi^4} (KN + K_T) 2 \sin \frac{i\pi}{n} \cdot \sin^2 l \cdot \cos l$$

$$P_4 = (A_1 \cdot B_2 - A_2 \cdot B_1)$$

$$C_1 = \frac{l^4}{EI\pi^4} (KN \cos^2 l - K_T \sin^2 l) 2 \sin \frac{i\pi}{n}$$

$$P_5 = (A_2 B_3 C_1 + A_3 \cdot B_1 C_2 + A_1 B_2 C_3)$$

$$D_1 = \frac{l^4}{EI\pi^4} \frac{l}{l^2} \quad E_1 = \frac{l^2}{\pi^2} \quad F_1 = \frac{l}{\pi^2} \quad E_2 = \frac{l^2}{\pi^2} \quad F_2 = \frac{l}{\pi^2} = F_3 \quad -A_3 B_2 C_1 - A_2 B_1 (C_3 - A_1 B_3 C_2)$$

$$A_2 = -\frac{l^4}{EI\pi^4} (KN + K_T) 2 \sin \frac{i\pi}{n} \cdot \cos l \cdot \sin l$$

$$A_3 = \frac{l^2}{GJ\pi^2} \alpha \{ (KN 2 \sin \frac{i\pi}{n} \cdot \cos^2 l - K_T 2 \sin \frac{i\pi}{n} \cdot \sin^2 l) \}$$

$$B_2 = \frac{l^4}{EI\pi^4} \{ KD + KN (4 - D_l) \sin^2 l + K_T D_l \cos^2 l \}$$

$$B_3 = \frac{l^2}{GJ\pi^2} \alpha \{ -KN (4 - D_l) + K_T \cdot D_l \}$$

$$C_2 = -\frac{l^4}{EI\pi^4} \{ KN (4 - D_l) - K_T \cdot D_l \} \{ \sin^2 l \cdot \cos l \}$$

$$C_3 = \frac{l^2}{GJ\pi^2} \alpha \{ KN (4 - D_l) \cos^2 l + K_T D_l \sin^2 l \} \quad \text{etc.}$$

よって前述の (1) ~ (3) に上記 (4) より得た境界値を代入し、次の様な定積分変換を施すことによって断面力を算る。

$$U_r(x) = \frac{2}{N} \sum_{i=0}^{N-1} R[U_r(x)] \cdot \cos \frac{i\pi}{N} r \quad (5) \quad V_r(x) = \frac{2}{N} \sum_{i=1}^{N-1} S_i[V_r(x)] \cdot \sin \frac{i\pi}{N} r \quad (6)$$

$$\theta_r(x) = \frac{2}{N} \sum_{i=1}^{N-1} S_i[\theta_r(x)] \cdot \sin \frac{i\pi}{N} r \quad (7)$$

### 3. 数値計算例

今、計算例として図-3 に  $D = 26\text{cm}$  の鋼管を  $N = 16$  本で  $l = 10\text{m}$  とする井筒構造の場合、天端に  $P = 100\text{t}$  載荷の場合の地盤反力係数の変化による最大変位の変化を  $k_N/k_T$  をパラメータとして示したものである。図-4 には、寸法を模型供試体のものとして、 $E = 2.1 \times 10^6 \text{ kg/cm}^2$ 、断面2次モーメント  $I = 58.81 \text{ cm}^4$ 、 $G = 8.1 \times 10^5 \text{ kg/cm}^2$ 、 $J = 2I$ 、 $l = 90\text{cm}$ 、 $\alpha = 9.8 \text{ cm/s}^2$  なるものを取り上げ、天端に 1 ton 載荷の場合のパイル本数による変化を上述と同様に総手効率の比の変化による最大変位の変化を示したものである。いずれも大きさに実際なく、総手効率比 20 以降はほぼ一定値となっている。これは  $k_N/k_T$  の分子、分母を変えてても同傾向を示す一方、値には地盤反力係数の変化が、かなり大きく影響を与えることを示し、一本メントにおいても同じ様子を呈した。パイル数が大になれば変位も小さくなりこれは妥当な傾向であると言える。

図-3

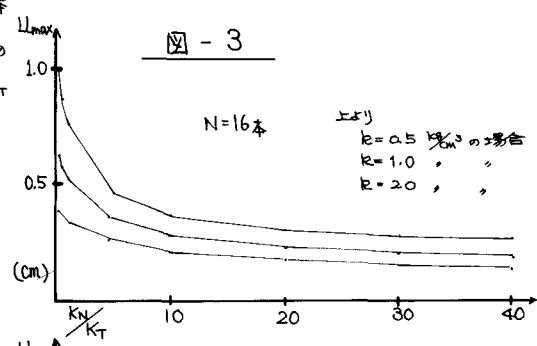
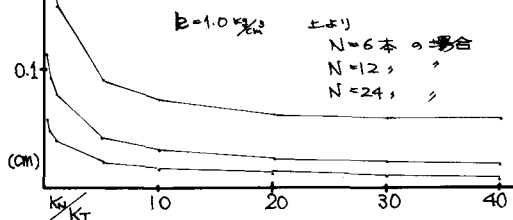


図-4



#### 4. 実験概要

実験供試体は図-1 及び写真-3 に示す様なアクリル樹脂パイプを用いて3種類のものを製作して行った。

|                |              |                       |
|----------------|--------------|-----------------------|
| Case1 中90mm×8本 | Ring-beam 無し | パイプヒヤイドの接続はパテ(ケンの効果)  |
| Case2 中90mm×8本 | Ring-beam 有り | パイドヒヤイドの接続はパテ(防水効果)   |
| Case3 中40mm×8本 | Ring-beam 有り | パイドヒヤイドの接続はコム(ヒン結合効果) |

Ring-beamとしては、断面積1cm<sup>2</sup>のゴムを製作し写真-2に見られる如くFree(天端)-Fix(根入れ端)条件の最大変位の生じるであろう天端に取り付けた。又、以上3種の実験は、共に供試体をアクリル樹脂製の円筒形水槽の中に入れ水深90cmまでにして、ひずみと変位を測定した。(写真-1,4)。尚、Strain-gageは防水性のBonded strain gageを用い、図-11に示す様な位置に互いに対称となる2対のパイプ8本に各々軸方向に表側3ヶ所、ハイド裏面の固定部分と、そこから50cmの所に各々取り付けた。(図中黒く塗られた所)ダイヤルゲージは天端に2ヶ所、取り付けて計測した。(写真-2)

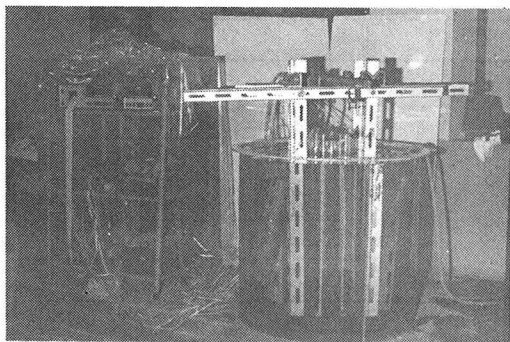


写真-1 測定装置Bの実験全体図  
(中90mm×8本)

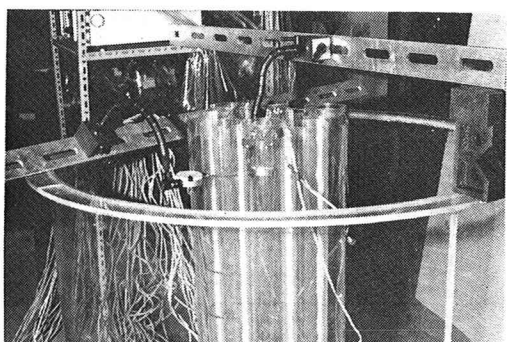


写真-2 ダイヤル・ゲージ取り付け位置  
リング・ビーム取り付け位置  
(中90mm×8本)

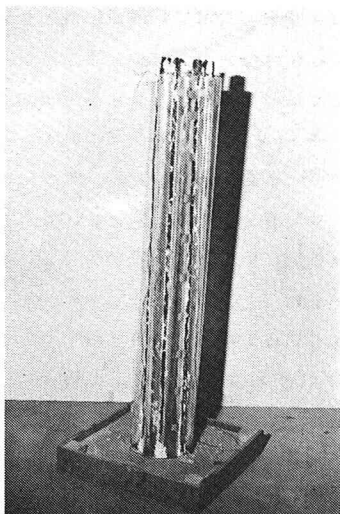


写真-3 供試体  
(中40mm×8本)

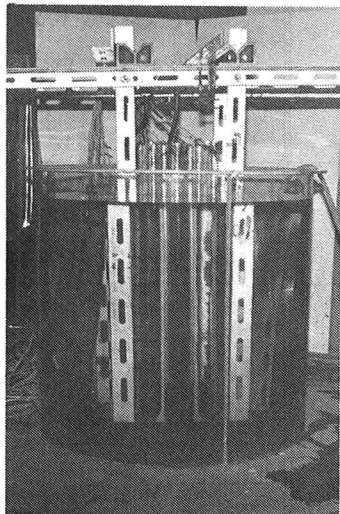


写真-4 円筒水槽Bの供試体  
(中90mm×8本)

## 5. 実験値と理論値の比較検討

表-1 ▶ 固定端 ( $\phi 90_{mm} \times 8$  本 Ring-beam 無)

| 実験値                       | 理論値 ( $l=90cm$ ) $x=90cm$ |  |
|---------------------------|---------------------------|--|
| $E = -768 \times 10^{-6}$ | $K_T$                     | $M = -350.400 (kg/cm)$                 |
|                           | 3.5                       | $G = \frac{M}{I} y = -26.28 (kg/cm^2)$ |
| $E = 32000 (kg/cm^2)$     | $K_T$                     | $M = -335.012 (kg/cm)$                 |
|                           | 4.0                       | $G = -25.13 (kg/cm^2)$                 |
| $I = 58.51 (cm^4)$        | $K_T$                     | $M = -322.160 (kg/cm)$                 |
|                           | 4.5                       | $G = -24.16 (kg/cm^2)$                 |

表-2 ▶ 固定端より 50cm (同上)

| 実験値                      | 理論値 ( $l=90cm$ ) $x=50cm$ |                        |
|--------------------------|---------------------------|------------------------|
| $E = 141 \times 10^{-6}$ | $K_T$                     | $M = 57.639.2 (kg/cm)$ |
|                          | 5.0                       | $G = 4.32 (kg/cm^2)$   |
| $G = 4.51 (kg/cm^2)$     | $K_T$                     | $M = 59.134.4 (kg/cm)$ |
|                          | 5.5                       | $G = 4.44 (kg/cm^2)$   |
| $I = 58.51 (cm^4)$       | $K_T$                     | $M = 60.276.3 (kg/cm)$ |
|                          | 6.0                       | $G = 4.52 (kg/cm^2)$   |

表-3 ▶ 固定端 ( $\phi 90_{mm} \times 8$  本 Ring-beam 有)

| 実験値                          | 理論値 ( $l=90cm$ ) $x=90cm$ |                        |
|------------------------------|---------------------------|------------------------|
| $E = -794.33 \times 10^{-6}$ | $K_T$                     | $M = -341.456 (kg/cm)$ |
|                              | 2.5                       | $G = -25.61 (kg/cm^2)$ |
| $G = -25.42 (kg/cm^2)$       | $K_T$                     | $M = -331.102 (kg/cm)$ |
|                              | 3.0                       | $G = -24.83 (kg/cm^2)$ |
| $I = 4.682 (cm^4)$           | $K_T$                     | $M = -321.786 (kg/cm)$ |
|                              | 3.5                       | $G = -24.13 (kg/cm^2)$ |

表-4 ▶ 固定端 ( $\phi 40_{mm} \times 8$  本 24 段筋 Ring-beam 有)

| 実験値                          | 理論値 ( $l=90cm$ ) $x=90cm$ |                         |
|------------------------------|---------------------------|-------------------------|
| $E = -503.01 \times 10^{-6}$ | $K_T$                     | $M = -42.383.6 (kg/cm)$ |
|                              | 20                        | $G = -17.12 (kg/cm^2)$  |
| $G = -16.10 (kg/cm^2)$       | $K_T$                     | $M = -37.380.4 (kg/cm)$ |
|                              | 25                        | $G = -15.10 (kg/cm^2)$  |
| $I = 32000 (kg/cm^2)$        | $K_T$                     | $M = -35.226.3 (kg/cm)$ |
|                              | 30                        | $G = -14.25 (kg/cm^2)$  |
| $I = 4.682 (cm^4)$           | $K_T$                     | $M = -35.226.3 (kg/cm)$ |
|                              | 30                        | $G = -14.25 (kg/cm^2)$  |
| $y = 1.89 cm$                | $K_T$                     | $M = -35.226.3 (kg/cm)$ |
|                              | 30                        | $G = -14.25 (kg/cm^2)$  |
| $Y_1 = 0.404 (kg/cm)$        | $K_T$                     | $M = -35.226.3 (kg/cm)$ |
|                              | 30                        | $G = -14.25 (kg/cm^2)$  |

表-5 ▶ 天端変位 ( $\phi 90_{mm} \times 8$  本 Ring-beam 無)

| 実験値     | 理論値 (mm)    |       |
|---------|-------------|-------|
| 10.0 mm | $K_T = 3.0$ | 14.62 |
|         | $K_T = 3.5$ | 12.46 |
|         | $K_T = 4.0$ | 10.79 |
|         | $K_T = 4.5$ | 9.46  |
|         | $K_T = 5.0$ | 8.37  |
|         | $K_T = 5.5$ | 7.47  |

表-6 ▶ 天端変位 ( $\phi 90_{mm} \times 8$  本 Ring-beam 有)

| 実験値    | 理論値 (mm)    |      |
|--------|-------------|------|
| 0.7 mm | $K_T = 3.5$ | 1.10 |
|        | $K_T = 4.0$ | 0.97 |
|        | $K_T = 4.5$ | 0.87 |
|        | $K_T = 5.0$ | 0.78 |
|        | $K_T = 5.5$ | 0.71 |
|        | $K_T = 6.0$ | 0.65 |

表-1 は Case-1 の場合の  $\phi 90_{mm} \times 8$  本 Ring-beam 無の場合の実験値と理論値の比較であり、固定端での値である。これから継手効率は 4.0 ～ 4.5  $kg/cm^2$  の間にあり、一方表-2 から 4.5 ～ 6.0  $kg/cm^2$  程度という結果である。表-5 はこの場合の天端における変位から  $K_T$  を求めたもので 3.5 ～ 4.5  $kg/cm^2$  という結果を得た。よって防水のみの効果を考慮した上で接続された場合にあそやへ 6  $kg/cm^2$  の継手効率  $K_T$  は、数  $kg/cm^2$  の効果があると言える。これによつて実際の構造物においても、ほとんど継手処理を行なわなくとも書き込んだ状態においてもある程度の継手効果があるといつてここが推定される。

表-3 及び表-6 は Case-2 の場合のもので  $\phi 90_{mm} \times 8$  本 Ring-beam を取り付けて補強した時であり、 $K_T$  は応力の比較から 3  $kg/cm^2$  前後があり、変位の比較からは 5  $kg/cm^2$  前後ということで、上記 Case-1 の時の継手効率と同程度の値を得た。又表-5, 6 の比較より、Ring-beam の効果が明らかに示されている。続いて表-4 は Case-3

の場合のものであるが、これからは  $K_T$  は  $20 \sim 30 \text{ kN/m}^2$  という結果である。

Case-1, 2 の場合と比較して継手処理の効果が表われていると言える。以上の実験結果及び数値計算例からこの理論の妥当性の裏づけが示されたと言えるが、この継手効率と合成効率との関係を明確にするには実験の種類および回数が不足しており、さらに軸方向力を考慮した解析と実験、動的解析、塑性の領域に入れた時の処理等、問題点が残るが、実験供試体の分解能の向上及び实物構造の実験データとの比較も加えて次の機会に發表する予定である。

尚、数値計算は、北海道大学大型計算機センター FACOM 230-75 及び 茂木牧高専 HITAC 8750 を用いて行なった。又、本研究の一部は昭和53年度北海道科学研究補助金を受けて行なったことを付記する。

#### ※ 参考文献

- 1) 矢板式基礎の設計と施工指針・同解説 : 矢板式基礎研究委員会
- 2) 水平鋼管矢板構造の継手効率について : 能町・澤田・佐藤 (土木学会北海道支部論文報告集 昭和52年度第34号)
- 3) Some Formulas Derived from Finite Integration : S.G. Nowachi & K.G. Matsuoka  
(The Transcript from the Memories of the Muroran Institute of Technology Vol. no.3)
- 4) 井筒基礎の地震応答解析に関する研究 : 土山支・小松 (土木学会論文報告集 第281号)
- 5) 鋼管矢板反基礎の施工および水平載荷試験 : 藤田・木寺・山口・島田・小間 (工事基礎 December 1973)
- 6) 橋梁基礎の新工法 : - 仮荷重法兼用鋼管矢板井筒工法 - 山島・肱黒 (土木学会誌 Aug. 1972)
- 7) 川鉄の鋼管矢板井筒工法 : (技術資料)
- 8) 鋼管矢板井筒の水平抵抗に関する模型実験的研究 : 島・後藤・龜田・和田 (土木学会第23回年次講演会概要集 III-82)
- 9) リング・ペームで補強された鋼管管井筒基礎の応力解析について : 能町・澤田 (土木学会北海道支部論文報告集 昭和51年度第33号)
- 10) 鋼管杭によるセル型基礎壁の応力解析について : 能町・澤田 (第12回道路会議一般論文集)
- 11) 鋼管杭による井筒基礎の弾性挙動について : 能町・澤田 (第31回年次学術講演会概要集 I-24)